

Рис. 19. Спектры поглощения различных форм  $\kappa$ -декилфлуоресцина в 0.01 М растворе н-додецилсульфата натрия при  $I = 0.4$  М (NaCl): 1 –  $H_2R^+$ , 2 –  $HR$ , 3 –  $R^-$  [419].

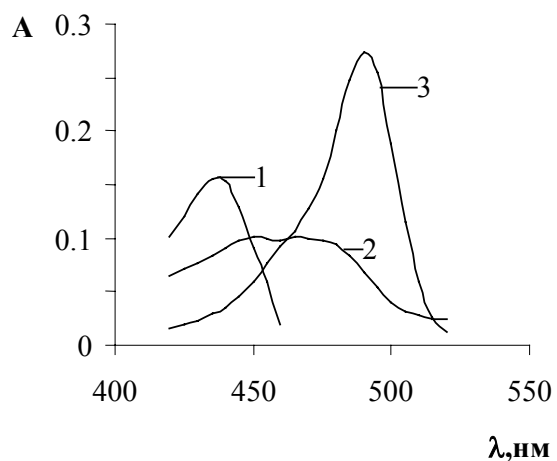


Рис. 20. Спектры поглощения различных форм этилфлуоресцина в водных растворах при  $I = 0.05$  М (NaCl): 1 –  $H_2R^+$ , 2 –  $HR$ , 3 –  $R^-$  [419].

Т а б л и ц а 16

**Разности значений  $pK_{a1}^a$  и  $pK_{a0}^a$  децилфлуоресцина в мицеллярных растворах различных ПАВ**

Мицеллярные системы <sup>a</sup>	$pK_{a1}^a - pK_{a0}^a$
<i>n</i> -C <sub>16</sub> H <sub>33</sub> SO <sub>3</sub> Na (323 K)	3.50
<i>n</i> -C <sub>12</sub> H <sub>25</sub> OSO <sub>3</sub> Na	3.79
<i>n</i> -C <sub>12</sub> H <sub>25</sub> OSO <sub>3</sub> Na, 0.4 M NaCl	3.63
<i>n</i> -C <sub>13</sub> H <sub>27</sub> OSO <sub>3</sub> Na	3.76
<i>n</i> -C <sub>14</sub> H <sub>29</sub> OSO <sub>3</sub> Na	3.77
<i>n</i> -C <sub>16</sub> H <sub>33</sub> OSO <sub>3</sub> Na (323 K)	3.75
<i>n</i> -C <sub>10</sub> H <sub>21</sub> SO <sub>3</sub> Na (0.03 M)	4.30
<i>n</i> -C <sub>10</sub> H <sub>21</sub> SO <sub>3</sub> Na (0.01 M), 0.4 M NaCl	3.84
<i>n</i> -C <sub>12</sub> H <sub>25</sub> C <sub>6</sub> H <sub>4</sub> SO <sub>3</sub> Na	3.59
<i>n</i> -C <sub>12</sub> H <sub>25</sub> (OC <sub>2</sub> H <sub>4</sub> ) <sub>3</sub> OSO <sub>3</sub> Na	3.81
<i>n</i> -C <sub>12</sub> H <sub>25</sub> C <sub>6</sub> H <sub>4</sub> (OC <sub>2</sub> H <sub>4</sub> ) <sub>12</sub> OSO <sub>3</sub> Na	4.10
<i>n</i> -C <sub>12</sub> H <sub>25</sub> OSO <sub>3</sub> Na + Твин 80 (1:1)	4.66
Твин 80	5.08
<i>n</i> -C <sub>16</sub> H <sub>33</sub> N(CH <sub>3</sub> ) <sub>2</sub> <sup>+</sup> (CH <sub>2</sub> ) <sub>3</sub> SO <sub>3</sub> <sup>-</sup>	4.44
<i>n</i> -C <sub>16</sub> H <sub>33</sub> N(CH <sub>3</sub> ) <sub>3</sub> X	4.12
<i>n</i> -C <sub>16</sub> H <sub>33</sub> N(CH <sub>3</sub> ) <sub>3</sub> Cl, 0.4 M NaCl	3.81
<i>n</i> -C <sub>16</sub> H <sub>33</sub> NC <sub>5</sub> H <sub>5</sub> Cl	4.13
<i>n</i> -C <sub>16</sub> H <sub>33</sub> NC <sub>5</sub> H <sub>5</sub> Cl + Твин 80 (1:4)	5.37

<sup>a</sup> концентрации ПАВ – как в таблице 15; если специально не указано, то  $I = 0.05$  M (NaCl).

**§ 28. Экранирование поверхностного заряда – влияние индифферентного поддерживающего электролита. Смесь противоионов и специфические солевые эффекты**

Рост ионной силы растворов (концентрации противоионов) вызывает экранирование поверхностного заряда и снижение абсолютного значения  $\Psi$  [см. §20 и ур. (55), (57)]. Обычные (неспецифические) солевые эффекты проиллюстрированы выше (рис. 15). В модель, описанную ур. (48), укладываются несколько десятков систем, исследованных как нами, так и другими авторами [169, 171, 203, 269, 377, 380, 386, 396, 436, 437, 439, 450, 452, 453, 469, 471]. Опыты с катионными ПАВ проводились нами при  $c_{\text{ПАВ}}$  0.001-0.01 M, с ДСН – при  $c_{\text{ПАВ}}$  0.01-0.02 M.

Характер зависимости  $pK_a^{ac}$  (а, следовательно, и спектры поглощения) индикатора, связанного мицеллами ПАВ, от  $\lg[X_w^-]$  позволяет проводить мониторинг ионной силы (при известном качественном ионном составе водного раствора); при этом конструкция «мицелла + индикатор» функционирует как своеобразный микроэлектрод. Это было показано на примере кationных ПАВ [472].

Следует еще обратить внимание на одно малозаметное обстоятельство. Хотя в §22 и указывалось, что варьирование длины углеводородного радикала кationного ПАВ практически не влияет на значения  $pK_a^{ac}$  красителя, связанного соответствующими мицеллами, но вывод этот основан главным образом на данных, полученных при 0.1-0.2 М  $\text{Br}^-$  или  $\text{Cl}^-$ . Так как угловые коэффициенты зависимостей в ур. (48),  $b = d(pK_a^a)/d\lg[X_w^-]$ , несколько различаются для ПАВ с различной длиной радикала [372,453], это автоматически приводит к тому, что даже при надежно фиксированном электролитном составе объемной фазы значения  $pK_a^{ac}$  не будут полностью совпадать при очень больших и при очень малых значениях  $[X_w^-]$  [453].

В основе подходов, приводящих к ур. (48) и аналогичному уравнению для мицелл анионных ПАВ,  $pK_a^{ac} = B - b_i \lg [M_{i,w}^+]$ , лежит представление о том, что значения  $pK_a^i$  и  $pK_a^m$  при варьировании ионной силы остаются неизменными ( $pK_a^i$  входит в параметр  $B$ ). В то же время, рост ионной силы бесспорно приводит во многих случаях к перестройкам мицелл [145,369,378,427-429,418,473,474], причем при высоких концентрациях противоиона, как и при высоких концентрациях ПАВ, значения  $\alpha$  ( $= 1 - b$ ) уменьшаются вследствие перестройки мицелл и «обезвоживания» их поверхности [369,428,475]. Последнее подтверждается, например, снижением параметра  $E_T^N$  при добавлении 4 М хлорида или бромида к мицеллярным растворам кationных ПАВ [390,419,452]. В этих условиях можно ожидать и некоторых изменений  $pK_a^i$  [170]. Удовлетворительное выполнение линейной зависимости (48) связано, вероятно, со сравнительной незначительностью этих эффектов или/и взаимной компенсацией изменений  $pK_a^i$  и  $\alpha$ .

Анализ экспериментальных данных в терминах теории ПИО также позволяет сделать вывод о том, что варьирование концентраций ионов  $\text{Cl}^-$  и  $\text{Br}^-$  в растворах катионных ПАВ и иона  $\text{Na}^+$  – в растворах ДСН мало влияет на «внутреннюю кислотность» [369,378,387,418]. В отдельных случаях (диссоциация карбоксильных групп) в растворах катионных ПАВ значение  $b$  оказывалось выше единицы [169], что может быть следствием специфических взаимодействий группы  $\text{COO}^-$  с катионом ПАВ при малых  $[\text{X}_w^-]$  [203].

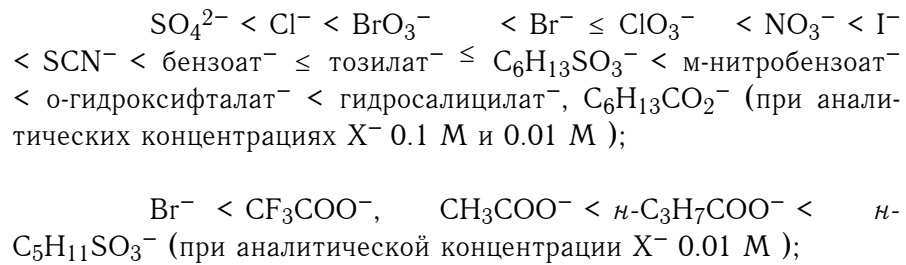
Описание солевых эффектов заметно осложняется в случае присутствия в системе нескольких противоионов [ур. (49)]. При полном связывании индикатора псевдофазой катионных ПАВ сочетание представлений ионообменной теории с электростатической моделью приводит к соотношению (60), аналогичному ур. (49) для анионных ПАВ:

$$\text{p}K_a^{ac} = B + \lg \sum_i S_i [\text{X}_{i,w}^-]^{b_i}, \quad (60)$$

где  $[\text{X}_{i,w}^-]$  – равновесная концентрация аниона данного сорта в объемной фазе,  $S_i$  – параметр селективности этого аниона; параметр  $B$ , а следовательно, и  $\text{p}K_a^i$ , принимаются не зависящими от сорта анионов. Сравнивая данные о  $\text{p}K_a^{ac}$  одного и того же индикатора в системах с анионом, выбранным в качестве стандартного ( $S_i \equiv 1$ , например,  $S_{\text{Br}^-}$ ), и с исследуемым анионом, можно для последнего оценить значение параметра селективности. В отдельных случаях имеется возможность использовать вместо равновесных концентраций активности ионов в объемной фазе,  $a_{\text{X}_i^-}^w$  [269]. Аналогично, с использованием данных о  $\text{p}K_a^{ac}$  в мицелях анионного ПАВ, можно оценить параметры селективности катионов при помощи ур. (49), принимая, например,  $S_{\text{Na}^+} \equiv 1$ . Затем следует проверить адекватность модели, сравнивая экспериментальные значения  $\text{p}K_a^{ac}$  в системах со смешанным солевым фоном со значениями, рассчитанными по ур. (49), (60).

В литературе накоплен определенный материал о значениях  $S_i$  для нескольких неорганических анионов в мицелярных растворах катионных ПАВ, главным образом на основе цетилпиридиния и

цетилтриметиламмония, однако практически отсутствуют данные о влиянии органических анионов на значения  $pK_a^{ac}$  индикаторов. Совместно с Н.А. Водолазкой и А.В. Тимий мы провели систематическое исследование, используя катионные ПАВ алкиламмониевого и N-алкилпиридиниевого рядов и 27 противоионов – 8 неорганических и 19 органических (5 алифатических карбоксилатов, 5 бензоатов, 2 нитрофенолята и 7 сульфонатов), в различных буферных системах при 298 К (в некоторых случаях при 303 К и 323 К) [450,452,453,476]. В качестве индикаторов использовались пять сульфофталеинов, главным образом – бромфеноловый синий; в некоторых опытах применялся стандартный индикатор Райхардта. Всего определено около 250 значений  $pK_a^a$ , как правило, с погрешностью  $\pm(0.04-0.05)$ . Эти исследования проводились обычно при концентрации катионных ПАВ 0.001 М. Анионы по их влиянию на значения  $pK_a^a$  индикаторов могут быть расположены в следующий лиотропный ряд:



$\text{Br}^- < \text{тозилат}^- < \text{o-хлорбензоат}^- \leq \text{n-C}_7\text{H}_{15}\text{SO}_3^- \leq 2,6$ -динитрофенолят $^-$ , 2,4-динитрофенолят $^-$  <  $\text{n-C}_8\text{H}_{17}\text{SO}_3^- < \text{n-C}_{10}\text{H}_{21}\text{SO}_3^-$  (при аналитической концентрации  $X^- 0.001$  M; даже при столь малых концентрациях различия в значениях  $pK_a^a$  ощущимы, например, для бромфенолового синего:  $2.17 \pm 0.04$  и  $2.79 \pm 0.02$  для  $\text{Br}^-$  и  $\text{n-C}_8\text{H}_{17}\text{SO}_3^-$ , соответственно, при этом значения в цетилпиридиниевой системе в среднем на 0.22 ед. ниже, чем в цетилтриметиламмониевой).

Для неорганических ионов указанные лиотропные ряды в целом неплохо согласуются с влиянием анионов на значения ККМ катионных ПАВ [477].

Результаты определения параметров  $B$ ,  $b$  и  $S_i$  с использованием широких интервалов концентраций анионов даны в табл. 17.

Таблица 17

**Параметры уравнения (48) для мицеллярных систем, исследованных при помощи индикатора бромфенолового синего, 298 К**

ПАВ	Анион	$B$	$b$	$r$	$S_i$
ЦТАБ	$\text{NO}_3^-$	$4.12 \pm 0.02$	$0.78 \pm 0.05$	0.996	$1.45 \pm 0.04$
ЦТАБ	$\text{Br}^-$ <sup>a,b</sup>	$3.95 \pm 0.03$	$0.83 \pm 0.03$	0.996	1.00
ЦТАБ	$\text{Cl}^-$ <sup>a</sup>	$3.45 \pm 0.08$	$0.73 \pm 0.08$	0.995	$0.32 \pm 0.02$ <sup>a</sup>
ЦПБ	$\text{NO}_3^-$	$3.61 \pm 0.02$	$0.64 \pm 0.03$	0.994	$1.6 \pm 0.2$
ЦПБ	$\text{Br}^-$	$3.51 \pm 0.02$	$0.71 \pm 0.02$	0.969	1.00
ЦПХ	$\text{Cl}^-$	$2.96 \pm 0.05$	$0.54 \pm 0.09$	0.997	$0.28 \pm 0.03$
ЦПХ	$\text{SO}_4^{2-}$ <sup>g</sup>	$2.73 \pm 0.02$	$0.26 \pm 0.07$	0.997	$0.17 \pm 0.01$
ЦТАБ	$n\text{-C}_5\text{H}_{11}\text{SO}_3^-$	$4.80 \pm 0.07$	$0.92 \pm 0.08$	0.999	$5.5 \pm 0.8$
ЦТАБ	$n\text{-C}_6\text{H}_{13}\text{SO}_3^-$	$5.16 \pm 0.07$	$0.89 \pm 0.08$	0.998	$14 \pm 2$
ЦТАБ	$\text{Tos}^-$ <sup>d</sup>	$5.33 \pm 0.02$	$1.00 \pm 0.02$	0.992	$23 \pm 5$

<sup>a</sup> По данным предыдущих исследований [269]. <sup>b</sup> Расчеты по литературным данным [372], при концентрациях КВг от 0.0077 до 1.05 М дают:  $B = 3.91$ ,  $b = 0.85$ ,  $r = 0.9998$ . <sup>c</sup> В шкале активностей:  $0.29 \pm 0.02$  [269]. <sup>g</sup> По данным предыдущих исследований [472]. <sup>d</sup> Тозилат,  $\text{H}_7\text{C}_7\text{SO}_3^-$ .

Значения  $b$  для исследованных неорганических ионов лежат в интервале 0.54-0.83;  $b_{\text{Cl}^-} < b_{\text{NO}_3^-} < b_{\text{Br}^-}$ , в соответствии со значениями степени диссоциации ПАВ в мицеллах,  $\alpha$ , полученными разными авторами при помощи потенциометрического метода с ионоселективными электродами, а также кондуктометрически [453]. Параметр  $b$  для цетилtrimетиламмониевой системы в 1.25 раз выше, чем для цетилпиридиниевой. Значение  $b_{\text{SO}_4^2-} = 0.26 \pm 0.07$  согласуется с величиной заряда этого иона. Относительно значений  $b$  органических ионов речь пойдет ниже. Значения  $S_i$  статистически неразличимы в случае систем на основе цетилпиридиния и цетилtrimетиламмония.

Значения  $\text{p}K_a^{ac}$  бромфенолового синего в мицеллах цетилtrimетиламмония, рассчитанные по уравнению (61)

$$\text{p}K_a^{ac} = 3.95 + \lg \left\{ 0.32 [\text{Cl}_w^-]^{0.73} + [\text{Br}_w^-]^{0.83} + 1.45 [\text{NO}_3^-]^{0.78} + 23 [\text{Tos}_w^-] \right\}, \quad (61)$$

удовлетворительно согласуются с экспериментом на широком интервале ионных концентраций; отклонения рассчитанных значений  $pK_a^{ac}$  от экспериментально найденных не превышают 0.2 единицы.

Примечательно, однако, что хотя ур. (49), (60) и выводятся из зависимости ККМ от концентрации противоионов, но значения  $S_i$ , найденные при помощи этих уравнений, оказываются гораздо выше, чем найденные из ККМ. И действительно, значения  $S_i$  для ионов  $n\text{-H}_13\text{C}_6\text{SO}_3^-$ ,  $\text{H}_7\text{C}_7\text{SO}_3^-$  и гидросалицилата в мицеллах на основе ЦТА<sup>+</sup> равны  $14 \pm 2$ ,  $23 \pm 5$  и  $\approx 60$ , соответственно [450,452,453,476], в то время как значения ККМ ряда замещенных бензоатов цетилtrimетиламмония всего лишь в пять раз ниже, чем ККМ ЦТАБ. Так, для бензоата цетилtrimетиламмония ККМ =  $6.2 \times 10^{-4}$  М, а для гидросалицилата –  $2 \times 10^{-4}$  М [476].

В мицеллярных растворах анионного ПАВ значения  $pK_a^{ac}$  метилового желтого, определенные экспериментально в присутствии смеси ионов  $\text{Na}^+$  и  $\text{Cu}^{2+}$ , в пределах 0.2 единицы совпадают с рассчитанными по уравнению (62) [471]:

$$pK_a^{ac} = 3.68 - \lg \left\{ [\text{Na}_w^+]^{0.91} + 0.9 [\text{Cu}_w^{2+}]^{0.32} \right\} \quad (62)$$

С другой стороны, для систем на основе ДСН значения  $S_i$  для органических катионов, найденные нами из данных о  $pK_a^{ac}$  индикаторов, главным образом, метилового желтого и гексаметокси красного, равны  $5 \pm 1$  для  $\text{N}(\text{CH}_3)_4^+$ ,  $15 \pm 2$  для  $\text{N}(\text{C}_2\text{H}_5)_3\text{H}^+$ ,  $22 \pm 3$  для  $\text{N}(\text{C}_2\text{H}_5)_4^+$  и  $125 \pm 5$  для  $\text{N}(n\text{-C}_4\text{H}_9)_4^+$  [435,452] (всего испытано 14 органических катионов). Между тем, оценки констант обмена ионов натрия на соответствующие органические катионы, полученные из данных о ККМ, намного, иногда более чем на порядок ниже [478]. Правда, значение  $S = 110$  для тетраэтиламмония, полученное Р. Габорио с сотрудниками [386], гораздо выше нашего значения и значения константы ионного обмена 6-6.5, полученного при помощи флуоресцентной техники [479]; в свою очередь, в последней работе для катиона триэтиламмония было найдено огромное значение константы ионного обмена (180) [479], что в 12 раз выше нашего значения  $S_i$  для этого иона.

Опять-таки, сама зависимость  $pK_a^{ac}$  от  $[M_{i,w}^+]$  выводится из зависимости ККМ от концентрации (активности) противоиона и предположения о том, что противоион не адсорбируется избыточно, а лишь экранирует поверхностный заряд (хотя модель предусматривает [384,400], что параметры  $b$  могут в точности и не совпадать,  $b_i \neq b_j$ ), значение же  $pK_a^i$  остается неизменным в ходе ионного обмена. Например, для метилового желтого значение  $pK_a^{ac}$  в мицеллах на основе  $\text{ДС}^-$  при  $[\text{Na}_w^+] = 0.05 \text{ M}$  составляет 4.81, а при той же ионной силе, создаваемой ионами тетра-*n*-бутиламмония,  $pK_a^{ac} = 1.61$ . При формальном подходе, в предположении неизменности значения  $pK_a^i$ , такая замена противоиона соответствует изменению  $\Psi$  на 190 мВ, что представляется маловероятным. Изменение константы протолитического равновесия на три порядка не согласуется с изменениями ККМ [386,436,471].

Нами были рассмотрены корреляции значений  $S_i$ , представленных в табл. 17, с различными параметрами анионов: с энергиями Гиббса гидратации либо переноса из воды в неводные растворители [10,12,18,23,35-37,53,221], с параметрами гидратации В.С. Шмидта  $\Delta G_h^*$  [480], с константами ионного обмена на границе раздела вода/воздух [481] и на анионообменных смолах [482]. Наиболее удачной оказалась последняя корреляция (но только при этом в случае ионитов константы для ароматических анионов не столь велики), а также корреляция с рефракциями,  $\Re$  ( $\text{см}^3$ ), ионов  $\text{Cl}^-$ ,  $\text{Br}^-$ ,  $\text{I}^-$ ,  $\text{NO}_3^-$ , бензоата, гидросалицилата и тозилата [453]:

$$\lg S_i = -0.82 + 0.072 \Re ; n = 7, r = 0.963 \quad (63)$$

Связь констант ионного обмена с поляризумостью ионов вообще характерна для ионообменных процессов [483].

Органические анионы, особенно ароматические, оказывают исключительно сильное влияние на протолитические свойства сульфофталеиновых и гидроксиксантеновых индикаторов, сольватохромного бетаина Райхардта. Аналогичные выводы можно сделать и из других данных [484]. Об аномальном влиянии органических противоионов на свойства мицелл додецилсульфата уже было сказано выше. Формально дело сводится к очень высоким зна-

чениям  $S_i$ , а в случае катионных ПАВ – еще и к высоким значениям  $b$  ароматических анионов.

Можно сформулировать три основные причины такого поведения, не учитываемые простой моделью ионного обмена [ур. (49), (60)]: (1) непостоянство значений  $pK_a^i$  индикаторов вследствие перестройки мицелл; (2) сверхэквивалентная адсорбция противоионов, вплоть до нейтрализации поверхностного заряда; (3) уменьшение абсолютной величины  $q_s$  вследствие укрупнения противоионов и особенностей их расположения в области Штерна. Рассмотрим их последовательно.

(1) Постоянно нарастающая с повышением концентрации органического противоиона, эффект изменения  $pK_a^i$  дополнительно снижает  $pK_a^{ac}$  индикаторов с типом заряда +/0 в мицеллах анионного ПАВ [435,452], и повышает – в случае нейтральных или анионных индикаторов – в мицеллах катионного ПАВ [419,449,452,453]. Это может оказаться на значениях  $S_i$ , вычисляемых по стандартной методике [269,435], а также привести к тому, что в некоторых случаях, например, в системе ЦТАБ – тоцилат – бромфеноловый синий [449],  $b \rightarrow 1$ . Формально из этого следует, что  $\alpha \rightarrow 0$ , но в этом случае нужно признать поверхность мицелл практически незаряженной, что противоречит хотя бы результатам электрофоретических измерений.

(2) Замена одного противоиона на другой в принципе может изменить заряд мицеллярной поверхности в связи с различием значений  $b$ . В случае повышенного сродства противоионов к мицеллам того или иного ПАВ возможна, в принципе, даже перезарядка поверхности. Не вполне согласуются друг с другом данные о возможной избыточной адсорбции противоионов в системе  $n$ -тетрадецилtrimетиламмоний бромид – гидросалицилат, полученные из электрофоретических измерений  $\zeta$ -потенциала [485] и с помощью значений  $pK_a^{ac}$  гидрофобизированного кумарина [486]. В последнем случае выводы о перезарядке поверхности делаются в предположении, что значение  $pK_a^i$  в мицеллах катионного ПАВ равно значению  $pK_a^{ac}$  в мицеллах неионного ПАВ [486], погрешности такого допущения, естественно, особенно сильно влияют на вывод о знаке заряда поверхности при малых значениях  $\Psi$ . Тот

факт, что в мицеллярных растворах цвиттерионного ПАВ (ЦДАПС) лишь гидрофобные анионы (но не катионы) оказывают существенное влияние на  $pK_a^{ac}$  [419], указывает на их адсорбцию в области четвертичного аммониевого азота. Это косвенно подтверждает вероятность подобных же специфических солевых эффектов в случае мицелл катионных ПАВ.

(3) Сильные изменения структуры области Штерна катионных [487] и анионных [488] мицелл, происходящие при внедрении соответственно ароматических анионов и тетраалкиламмониевых катионов, общеизвестны. В этом случае снижение поверхностной плотности заряда, в соответствии с ур. (55)-(57), автоматически снижает  $|\Psi|$ . Особый интерес представляет сильное влияние очень малых концентраций крупных гидрофобных противоионов. Опыты, проведенные совместно с Н.А. Водолазкой [452], показали, что при введении в 0.01 М растворы ЦТАБ и ДСН соответственно алкилсульфонатов и тетраалкиламмониевых ионов в концентрациях 0.001-0.003 М значения  $pK_a^{ac}$  индикаторов уже значительно изменяются. Поскольку значения  $S_i$  для этих противоионов велики, можно ожидать их довольно полного связывания, и равновесные концентрации, соответственно  $[X_w^-]$  и  $[M_w^+]$ , стремятся к нулю. Таким образом, можно считать установленным специфическое влияние гидрофобных противоионов, не учитываемое логарифмическим членом уравнений (49) и (60) и сводящееся к изменению  $pK_a^i$  индикатора или/и поверхностной плотности заряда мицелл.

Альтернативное объяснение заключается в допущении об аномально высоких значениях  $S_i$  при первых добавках обсуждаемых противоионов. И действительно, обработка наших данных показывает, что в ряде случаев значения  $S_i$  существенно зависят от того, в каком диапазоне концентраций противоионов они вычисляются. Например, значение  $S_{M^+}$  катиона тетра-*n*-пропиламмония, найденное при помощи индикатора гексаметоксикрасного в растворах ДСН при  $c_{\text{ПАВ}} = 0.001 \text{ M}$ ,  $[Na_w^+] = 0.031 \text{ M}$  и  $[M_w^+] = 0.019 \text{ M}$ , составило 66, а при  $[Na_w^+] = 0.031 \text{ M}$  и  $[M_w^+] = 0.199 \text{ M}$   $S_{M^+} = 36$ . Непостоянство концентрационных констант обмена катионов на ионообменных смолах и стеклах давно известно; со-

гласно Н.А. Измайлова [10,489], причиной является значительное изменение коэффициентов активности в фазе ионита.

Ионный обмен с участием органических ионов носит, по Н.А. Измайлова и С.Х. Мушинской [489], «гибридный» характер, и ему присущи черты молекулярной адсорбции. Непостоянство «константы» в случае конкуренции гидрофильных и гидрофобных ионов можно объяснить тем, что более выраженные эффекты имеют место при добавлении малых количеств алкиламмониевых ионов (при замене их на ионы натрия), а более слабые эффекты – при дальнейшем добавлении органических катионов.

Можно предположить аналогичные явления и для обмена на поверхности мицелл катионных ПАВ. Более того, в отличие от твердых ионообменников с жесткой матрицей (сшитых полиэлектролитов), мицеллы ПАВ являются динамическими образованиями, и постепенное насыщение области Штерна органическими противоионами способно вызвать более глубокие структурные изменения, особенно если учесть склонность мицелл к полиморфизму. С другой стороны, имеются указания на то, что при малых концентрациях такие гидрофильные ионы, как  $\text{OH}^-$  и  $\text{F}^-$ , удерживаются мицеллами катионного ПАВ сильнее, чем этого можно было бы ожидать, исходя из констант ионного обмена, найденных при более высоких концентрациях [490]. Упомянем еще ряд работ, посвященных детальному рассмотрению проблемы связывания противоионов мицеллами [491].

Во всех случаях корректное применение соотношений (49) и (60) требует расчета равновесного состава объемной фазы с учетом констант ионного обмена на поверхности мицелл ионных ПАВ, в качестве которых можно использовать значения  $S_i$ . Кроме того, при малых концентрациях электролитов особенно важно учитывать противоионы, поступающие в объемную фазу за счет диссоциации ПАВ в мицеллах. Например, для ЦТАБ:

$$[\text{Br}_w^-] = \text{KKM} + c_{\text{Br}^-} + \alpha (c_{\text{ПАВ}} - \text{KKM}) , \quad (64)$$

где  $c_{\text{Br}^-}$  – начальная концентрация бромида в буферной смеси (включая фоновый электролит, но без учета вклада ЦТАБ). Аналогичные соотношения легко записать для ДСН и других ионных

ПАВ. При каждом значении концентрации фонового электролита значение ККМ можно рассчитать по предварительно полученным или имеющимся в литературе интерполяционным уравнениям, например, для ЦТАБ [492]:

$$\lg(\text{ККМ}) = -4.84 - 0.60 \lg(C_{\text{NaBr}} + \text{ККМ}) \quad (65)$$

Аналогичные уравнения имеются для системы ДСН – NaCl [386,387,471,493].

В целом можно утверждать, что хотя сочетание модели ПИО и электростатического подхода позволяет в первом приближении удовлетворительно описать солевые эффекты в системах ПАВ + органический противоион, но существенное варьирование природы противоиона вызывает значительную реорганизацию мицелл, что приводит в конечном счете к ситуации, убеждающей в ограниченности ионообменной модели. Это также подтверждается вискозиметрическими и электрофоретическими измерениями и опытами с сольватохромными индикаторами. Таким образом, измерения с кислотно-основными индикаторами отражают изменения электрических потенциалов поверхностей и ионной силы объемной фазы, но перестройка мицелл ионных ПАВ, становящаяся явной в случае гидрофобных противоионов, ограничивает применимость концепции ионного обмена.

С этих позиций следует, вероятно, рассматривать данные о значениях  $\Psi$  в растворах коллоидных ПАВ в условиях варьирования концентрации фонового (поддерживающего) электролита [494] и концентрации ПАВ [495]. Еще сложнее эта задача в случае везикул катионных ПАВ [496], суспензий фосфолипидных мембран [146,343,344,347,462,497], растворов полиэлектролитов [498], монослоев на границе раздела вода/воздух и вода/твердое тело [499], а также в сенсорных системах с иммобилизованными кислотно-основными индикаторами [153,154,158, 500].

К особым явлениям следует отнести вытеснение анионов сравнительно гидрофильного сульфофталеина – фенолового красного – из области Штерна мицелл ЦТАБ в водную фазу под действием высоких концентраций бромидов и особенно нитратов, хотя в случае хлоридов (даже до 4 М) подобный эффект не наблюдается [380,453]. Это тем более интересно, если учесть, что наиболее гидрофобный из стандартной серии сульфофталеинов – бромтимоловый синий – в определенных условиях заметно связы-

вается даже мицеллами анионного ПАВ (ДСН) не только в моноанионной форме  $\text{HR}^-$ , но и в дианионной –  $\text{R}_2^-$  [468]. Подобные явления обусловливают дифференцирующее действие мицелл ПАВ, вызванное избирательным связыванием различных ионных и молекулярных форм индикаторов псевдофазой.

## ПРИМЕЧАНИЯ К ГЛАВЕ 7

<sup>1)</sup> Обухова Е.Н., Водолазкая Н.А., Мчедлов-Петросян Н.О., Пащенкер Л.Д. XX Украинская конференция по органической химии. Одесса. 2004. С.283

<sup>2)</sup> Имеется еще один тип ПАВ, мицеллы которых предлагаются в качестве стандартной среды для наиболее объективной оценки значений  $\text{p}K_a^i$ . Недавнее исследование диссоциации миристиновой кислоты в мицеллярных растворах алкилглюкозидных ПАВ в воде, проведенное при помощи метода ЯМР  $^{13}\text{C}$ , позволило авторам предложить для указанной цели мицеллы этого ПАВ [Whiddon C.R., Bunton C.A., Söderman O. J. Phys. Chem. B. 2003. V. 107. No. 4. P. 1001-1005]. Основанием явилось, в числе прочего, и то, что, в противоположность мицеллам неионных ПАВ с оксиэтиленовыми цепочками, гидрофильные части таких мицелл являются не только акцепторами, но и донорами водородных связей. Впрочем, подобные ПАВ исследовались ранее П. Макерджи с сотрудниками [369], а также и другими авторами, которые, в частности, отметили возможность специфических взаимодействий карбоксилатной группы индикаторной кислоты с гидроксильной группой *n*-додецил- $\beta$ -D-мальтозида [Drummond C.J., Warr G.G., Grieser F., Ninham B.W., Evans D.F. J. Phys. Chem. 1985. V. 89. No. 10. P. 2103-2109].

<sup>3)</sup> Недавно был предложен подход к интерпретации значений  $\text{p}K_a^a$  в мицеллярных растворах ПАВ различных типов, основанный на рассмотрении раствора, содержащего мицеллы, противоионы и добавленную соль как диэлектрического континуума. Результаты потенциометрического титрования лауриновой кислоты в растворах ПАВ сопоставлены с результатами расчета методом Монте-Карло, а также Пуассона-Больцмана [Da Silva F.L.B., Bogren D., Söderman O., Åkesson T., Jönsson B. J. Phys. Chem. B. 2002. V. 106. No. 13. P. 3515-3522]. С учетом рассмотренного выше сильного дифференцирующего действия мицелл представляется, однако, очевидным, что разности значений  $\text{p}K_a^{ac}$  в мицеллах анионного, катионного и неионного ПАВ для других кислот, например, для фенолов, окажутся иными, нежели для лауриновой кислоты. Это, в частности, уже можно сказать о значениях  $\text{p}K_a^{ac}$  индикаторов, представленных в этой главе.